

## PAPER DETAILS

TITLE: Dogrusal Olmayan Yük Kosullarında Çalışan Kuru Tip Transformatörlerin Titresim Etkileri  
Üzerine Bir Analiz

AUTHORS: Funda BATTAL,Ibrahim SEFA,Selami BALCI

PAGES: 729-740

ORIGINAL PDF URL: <https://dergipark.org.tr/tr/download/article-file/801867>



## An Analysis on Vibration Effects of Dry Type Transformers Operating Under Nonlinear Load Conditions

Funda BATTAL<sup>1,\*</sup>, İbrahim SEFA<sup>2</sup>, Selami BALCI<sup>3</sup>

<sup>1</sup>Nevşehir Hacı Bektaş Veli Üniversitesi, Hacıbektaş MYO, Elektronik ve Otomasyon Bölümü, 50800, Hacıbektaş/NEVŞEHİR

<sup>2</sup>Gazi Üniversitesi, Teknoloji Fakültesi, Elektrik-Elektronik Mühendisliği Bölümü, 06500, ANKARA

<sup>3</sup>Karamanoğlu Mehmetbey Üniversitesi, Mühendislik Fakültesi, Elektrik-Elektronik Mühendisliği Bölümü, 70200, KARAMAN

### Graphical/Tabular Abstract

#### Article Info:

Received: 21/06/2019

Revision 23/08/2019

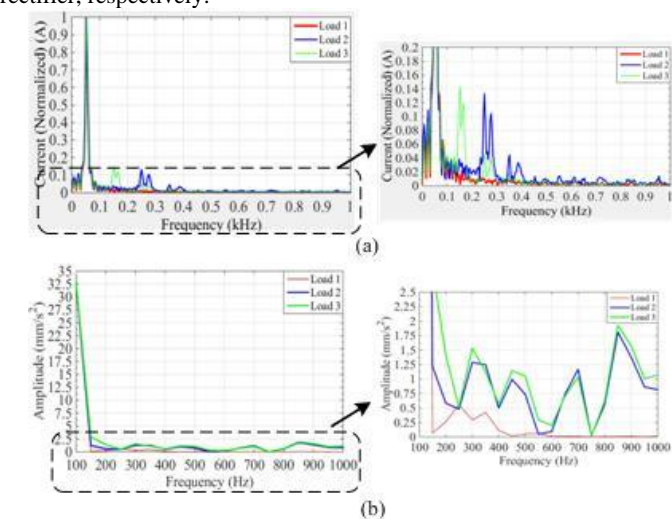
Accepted: 29/08/2019

#### Highlights

- A dry-type isolation transformer
- THD and nonlinear loads
- Transformer core vibration and effects of harmonics on the amplitude of the vibration frequency

#### Keywords

Transformer Core  
Vibration  
Non-linear Load  
Total Harmonic Distortion  
Finite Element Analysis



**Figure A.** Signals obtained according to load condition a) current harmonic spectrum, b) axial acceleration harmonic spectrum

**Purpose:** It is aimed to investigate the vibration signals of a dry type isolation transformer core which operates different load conditions.

**Theory and Methods:** Transformer and loads are modelled and simulated by using ANSYS Maxwell and Simplorer. And then core forces obtained from Maxwell are used as input parameters in ANSYS Mechanical. Finally, vibration signals as harmonic responses are obtained.

**Results:** Increase in the THD value leads to an increase in the number and amplitude of vibration harmonic components. With the increase in the THD value, the second and third harmonic components of the vibration have increased in amplitude. It has been shown that the increase of the THD value caused by using the 1-phase rectifier leads to only the increase of the peak value amplitude in the radial force frequency spectrum, there is no similar increase in the axial force frequency spectrum.

**Conclusion:** The increase of the THD value, the fundamental components of the vibration signals in the axial direction the second and third harmonic component amplitudes are increased. Also, the increase in THD value has led to a greater number of regional maximum points depending on the grades of the harmonic currents in the vibration frequency spectrum. Vibration signals must be carefully monitored since vibrations in the axial direction may cause a failure such as core deformation on the transformer.



## Doğrusal Olmayan Yük Koşullarında Çalışan Kuru Tip Transformatörlerin Titreşim Etkileri Üzerine Bir Analiz

Funda BATTAL<sup>1</sup>, \* İbrahim SEFA<sup>2</sup>, Selami BALCI<sup>3</sup>

<sup>1</sup>Nevşehir Hacı Bektaş Veli Üniversitesi, Hacıbektaş MYO, Elektronik ve Otomasyon Bölümü, 50800, Hacıbektaş/NEVŞEHİR

<sup>2</sup>Gazi Üniversitesi, Teknoloji Fakültesi, Elektrik-Elektronik Mühendisliği Bölümü, 06500, ANKARA

<sup>3</sup>Karamanoğlu Mehmetbey Üniversitesi, Mühendislik Fakültesi, Elektrik-Elektronik Mühendisliği Bölümü, 70200, KARAMAN

### Öz

#### Makale Bilgisi

Başvuru: : 21/06/2019  
Düzelme: 23/08/2019  
Kabul: 29/08/2019

#### Anahtar Kelimeler

Transformatör nüvesi  
Titreşim  
Doğrusal olmayan yük  
Toplam Harmonik  
Bozunum  
Sonlu Elemanlar Analizi

#### Keywords

Transformer Core  
Vibration  
Non-linear Load  
Total Harmonic Distortion  
Finite Element Analysis

### An Analysis on Vibration Effects of Dry Type Transformers Operating Under Nonlinear Load Conditions

#### Abstract

Transformers are generally designed to operate in linear loads. However, in recent years because of the increase in the percentage of nonlinear loads within general load ratio, designs that can operate in these conditions are needed. Due to the harmonic ratios of currents passing through transformer windings increase, more heat is generated in both of windings and cores of transformer and it leads to decrease of operating efficiency. Another important effect of nonlinear loads is that it leads to an increase in vibration amplitudes, which causes a decrease in life core and windings of transformer. Vibrations in transformers can not only lead to noise pollution, but also they can cause both the nominal values of the transformer to change and the service life to decrease. It is possible to be able to fully conduct fault diagnosis and protection functions of transformers by not only precisely measuring electrical and thermal parameters like current-voltage but also mechanical parameters such as vibration. For this reason, it is necessary to monitor the vibration signals of the transformers and to determine the limits of change under changing operating conditions. For this purpose, in this study, core forces were obtained by performing electromagnetic analysis under nonlinear different load conditions of an insulation transformer at rated power of 500kVA and then vibration values corresponding to these values were determined and the results were reported.

## 1. GİRİŞ (INTRODUCTION)

Farklı güç ve gerilim seviyelerindeki enerji sistemlerinin en önemli ve pahalı bileşenlerinden olan transformatörler [1] genel iletim ve dağıtım sistemleri için tasarlanabildikleri gibi medikal cihazlar, şarj

cihazları, şebeke etkileşimli eviriciler ya da kesintisiz güç kaynakları gibi uygulamalarda birimleri birbirinden elektriksel olarak yalıtmak veya daha yaygın bir ifade ile galvanik izolasyon sağlamak için de sıkılıkla kullanılmaktadır [2-3]. Transformatörler genellikle doğrusal yüklerde ve belirli bir güç faktöründe çalışmak üzere tasarlanmıştır. Ancak günümüzde gittikçe artan sayıda kullanılan, anahtarlamalı güç kaynakları, motor sürücülerini, gerilim ayarlayıcıları, şarj cihazları gibi yükler harmonik bileşenler içeren akımlar çekmektedirler. Böylelikle, transformatörlerin sargılardan geçen akımların dalga şekilleri de doğrusal olmaktan uzaklaşmaktadır [4]. Sinüzoidal olmayan akımlar çeken bu yükler yüksek dereceli harmonik bileşenlerin ortaya çıkmasına yol açarak transformatörlerde kayıpların artması, nüve ve sargı gibi bileşenlerinde fazladan ısı artışı, rezonans tehlikesinin ortaya çıkması, güç faktöründe kötüleşme ve verimin azalmasının yanında titreşim ve gürültünün artması gibi birçok olumsuz değişime yol açmaktadır [5-6]. Bakım kolaylığı, daha az alan gerektirmesi ve benzeri sebeplerle tercih edilen kuru tip transformatörler, belirli bir gerilim seviyelerine kadar daha çok kullanılmaktadır. Bu çalışmada kuru tip bir izolasyon transformatörünün doğrusal ve doğrusal olmayan yük koşullarına bağlı olarak değişen nüve titreşim değerleri ve yük akım formuna bağlı olan ilişki analiz edilmektedir.

Transformatörler gerek yüksüz gerekse yüklü çalışma durumlarında enerji uygulandığı andan itibaren çeşitli manyeto-mekanik etkilerden dolayı aktif kısımlarında titreşim oluştururlar. Yüksüz çalışmada sargılarda ihmali edilebilecek kadar küçük değerde akım dolaşacağı için sargı kuvvetleri oldukça küçük değerde olmaktadır. Buna bağlı olarak sargı titreşimi de ihmali edilecek kadar oldukça düşük değerlerde olmaktadır. Bu nedenle yüksüz çalışma durumunda sadece nüvede titreşim görülmektedir. Transformatörlerde nüve titreşiminin temel nedeni nüve malzemesinin manyetik özelliğinden kaynaklanan manyetik büzülme etkisinin varlığıdır. Yüklü durumda ise manyetik büzülmeye ek olarak sargı akımlarından kaynaklanan elektromanyetik kuvvetler hem nüvedeki titreşimi etkilemeye hem de sargılarda titreşimin ortaya çıkmasına neden olmaktadır. Ancak transformatör doğrusal olmayan bir yükü beslerken sargılarda dolaşan akımda temel bileşen haricindeki diğer harmonik bileşenler de görülmeye başlanır. Bu harmonik akımlar genliğine bağlı olarak transformatörün titreşim değerini artırmaktır ve transformatörün özellikle mekanik açıdan daha kısa sürede yıpranıp ömrünün azalmasına ya da tamamen devre dışı kalmasına yol açabilmektedir. Bu nedenle sargı akımdaki harmoniklerden kaynaklanan dalga şekli bozunum seviyesi olan Toplam Harmonik Bozunum (THD) belirlenerek buna göre titreşim sinyalindeki değişimlerin de belirlenmesi gerekmektedir [7-9].

Transformatörlerde meydana gelebilecek herhangi bir mekanik arızanın belirlenmesinde titreşim-tabanlı tanılama, detaylı bilgi sağlamasından dolayı yaygın kullanılan metotlardan biridir [10]. Bu nedenle literatürde transformatörlerin titreşim analizlerine yönelik yapılan çalışmalar da gittikçe artmaktadır. Transformatörlerin titreşim analizleri ağırlıklı olarak yüksüz durumdaki nüve titreşimi ya da belirli doğrusal yük seviyelerinde veya kısa devre durumundaki titreşim analizleri şeklindedir. Ancak bu çalışmalar genelde nüve ve/veya sargıların mekanik/gevşeklik durumlarına göre [11-17], bu durumlara ek olarak sargı yalıtım malzemelerinin yıpranma durumlarına göre [19] yapılmaktadır. Yüklü çalışma durumlarında ise genellikle çeşitli seviyelerdeki doğrusal yükler incelemektedir. Ancak günümüzde doğrusal yükler kadar doğrusal olmayan yüklerin kullanımını da gittikçe yaygınlaşlığından titreşim analizinde bu yük durumunun da göz önünde bulundurulması gerekmektedir. Kaynak [19]'da transformatörler normal ve deformasyon içeren anormal olarak sınıflandırılmış ve her biri için THD değerleri verilmiştir. Anormal durumda olan transformatörlerde yüksek frekanslı harmonik bileşenler, normal sınıflandırılan transformatörlerle kıyasla çok daha yüksek çıkmıştır. [20]'de sargı deformasyonlarının belirlenebilmesi için titreşim sinyalinin gerçek ve sanal bileşenleri incelenmiş, güç faktörünün değişmesiyle birlikte titreşimin genliğinde değişme olmadığı ancak titreşimin gerçek ve sanal bileşenlerinde değişme olduğu rapor edilmiştir. [21]'de bir güç transformatöründe çeşitli yapısal problemlere göre titreşim sinyallerinin değişimi incelenmiş, buna ek olarak elektriksel ve mekanik uyarılardan kaynaklanan titreşim sinyali değişimleri belirlenmiştir.

Transformatörlerde titreşim üzerine yapılan araştırmaların çoğunun sinüzoidal yüklerle çalışmaları içeriği literatürden görülmektedir. Halbuki, günümüzde doğrusal olmayan bir ve üç fazlı yüklerin genel yük içerisindeki kullanım oranları giderek artmaktadır. Ayrıca, doğrusal olmayan yük akımları, transformatörün doğrusal yüklenme esnasındaki kayıplarının yanında titreşimlerinin de artmasına yol açmaktadır. Artan bu titreşimler, yıpranmayı hızlandırdıkları ve transformatör yapılarında mekanik arızalara yol açabildikleri için hata ve arızalara karşı önceden bilgi edinilmesi ve izlenmesi gereken sinyallerdir. Doğrusal olmayan yükler altında çalışan transformatörlerin titreşim analizine ilişkin olarak düşük dereceli harmonik bileşenlerin de

titreşim üzerindeki etkilerinin rapor edildiği bir çalışma yapılmıştır. Yapılan çalışmada, 3-fazlı şebeke frekanslı 500kVA güç değerindeki kuru tip bir yalıtım transformatörünün farklı yük koşulları altında elektromanyetik modellemesi yapılmış ve bu koşulların nüve kuvveti üzerindeki değişimleri belirlenmiştir. Bu kuvvetlerinin değişimi ve buna bağlı olarak titreşim sinyallerinin değişmesi harmonik tepki analizleri yapılarak araştırılmış ve sonuçları karşılaştırmalı olarak rapor edilmiştir.

## 2. TRANSFORMATÖRLERDE DOĞRUSAL OLMAYAN YÜKLER (NONLINEAR LOADS IN TRANSFORMERS)

Bir yükle uygulanan gerilim ile yükün çektığı akım arasında doğrusal olmayan bir ilişki bulunduğuunda bu yük güç sistemlerinde harmonik akımların ortayamasına neden olur. Direnç, bobin ve kondansatör gibi yükler doğrusal yüklerdir. Eğer böyle yüklerde sinüzoidal gerilim uygulanırsa çekicileri akım da sinüzoidal olmaktadır. Ancak, günümüzde güç sistemlerinde transformatörler, güç elektroniki devrelerini içeren anahtarlamalı güç kaynakları (SMPS), tasarruflu floresan lambalar, ark fırınları, ayarlanabilir hızlı AA ve DA sürücüler, yenilenebilir enerji kaynakları ve yüksek gerilim DA (HVDC) uygulamaları gibi doğrusal olmayan yapıda olan bileşenler, sistem frekansının tam sayı katlarındaki frekans değerlerinde harmoniklerin üretilmesine yol açmaktadır [7-9]. Bu yüklerin çektüğü harmonik akımlar, sistem impedansı üzerinde harmonik gerilimleri oluşturur. Bu harmoniklerin temel etkileri kontrol ve koruma cihazlarının yanlış çalışması, telefon girişimleri, rezonans frekanslarının oluşması, aşırı ısınma, ek gürültü oluşumu, ek hat kayıpları (temel ve harmonik frekanslarda) ve elektrik makineleri gibi şebeke elemanları ile tüketici cihazlarının ömrlerinin azalmasına yol açmaktadır.

Herhangi bir akım/gerilim sinyali Fourier serileri ile ifade edilebilir. Fourier serisindeki her terim, dalga şemlinin harmonik bileşeni olarak adlandırılır. Harmoniklerin frekansları genellikle temel frekansın tam sayı katlarındandır. Bir akım/gerilim sinyali Eşitlik 2.1 ve Eşitlik 2.2' de verildiği gibi tanımlanırlar:

$$v(t) = V_{DC} + \sum_{h=1}^n V_h \cos(h\omega_0 t + \alpha_h) = V_{DC} + v_1(t) + v_2(t) + v_3(t) + \dots + v_n(t) \quad 2.1$$

$$i(t) = I_{DC} + \sum_{h=1}^n I_h \cos(h\omega_0 t + \beta_h) = I_{DC} + i_1(t) + i_2(t) + i_3(t) + \dots + i_n(t) \quad 2.2$$

Burada  $\omega_0$  temel frekansı,  $h$  ise harmonik derecesini,  $V_h$ ,  $I_h$ ,  $\alpha_h$  ve  $\beta_h$  terimleri ise  $h$ . dereceden harmonik için sırasıyla gerilim ve akımların RMS genlik ve fazlarını göstermektedir. Dalga şemlinin sinüzoidal dalga gibi simetrik olduğu durumlarda Fourier serisi sadece tek dereceli harmoniklerden oluşur. Ancak sistemde yarı-dalga doğrultucular, ark fırınları ya da Geomanyetik-İndüklemeli Akımlar (GIC) görülyorsa çift harmonikler de ortaya çıkarlar. Sinüzoidal olmayan bir dalga şemlinin harmonikleri, bu fonksiyonun Fourier serisi bileşenlerinin çift ve tek bileşenlerine karşılık gelmektedir. [22].

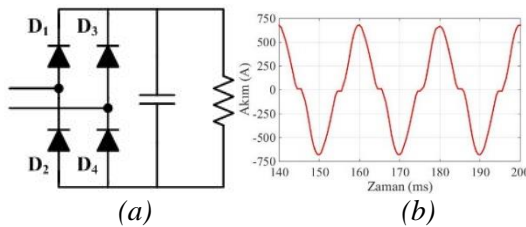
Bozulmuş bir dalga şemlinin harmonik içeriğini göstermek için Toplam Harmonik Bozunum (THD), Güç Faktörü (PF), Tepe Faktörü (CF), Harmonik Kayıp Faktörü (K-faktör), transformatör güç indirgeme (derating) faktörü (TDF) gibi çeşitli parametreler kullanılmaktadır. Bunların içerisinde kolay hesaplanabilmesinden dolayı THD yaygın şekilde kullanılmaktadır. THD ile harmonik bileşenlerin temel bileşene oranı olarak hesaplanır ve yüzde cinsinden ifade edilir ve akım dalga şekli için THD değeri Eşitlik 2.3' te verildiği gibi belirlenebilmektedir.

$$THD_i = \frac{\sqrt{\sum_{h=2}^{\infty} I_h^2}}{I_1} \times 100\% \quad 2.3$$

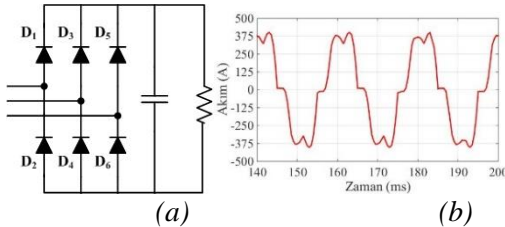
Burada  $I_1$  temel bileşenin rms değeri ve  $I_h$  de  $h$ . dereceden harmonik bileşenin genliğidir. Harmonik bileşen içeren bir dalga şemlinin rms değeri temel bileşeni de içerecek şekilde tüm harmonik bileşenlerin rms değerlerinden hesaplanabilmektedir. THD ile bir dalga şemlinin bozunum seviyesini göstermenin temel avantajları, hızlı şekilde ölçümün yapılabilmesi ve kolaylıkla belirlenebilmesidir. En büyük dezavantaj ise doğrudan genlik ve frekans spektrumu bilgisi sağlamamasıdır [9].

Günümüz elektrik şebekesindeki yüklerin büyük bir bölümü geçmişte olduğu gibi doğrusal yüklerden oluşmamaktadır. Doğrusal olmayan bu yükler, geçmişte üretilen ve harmonikler açısından standart dışı olarak kabul edilebilecek şebeke frekanslı doğrultucular ile standartları bütün bir çalışma aralığında

karşılamayan yüksek frekanslı tasarımlardan kaynaklanmaktadır. Genel olarak meskenlerde bir fazlı kontrolsüz doğrultucular ile endüstride kullanılan üç fazlı kontrollü ve kontrolsüz doğrultucular dağıtım şebekesindeki enerji kalitesi açısından problem oluşturan ve en çok kullanılan yük çeşitleridir. Bu yüklerin harmonik değerleri ve dereceleri doğrultucunun faz ve darbe sayısına göre farklılıklar göstermektedirler. Yapılan bu çalışma ile hem bir fazlı ve hem de üç fazlı doğrusal olmayan yükler ile ayrı ayrı yüklenenek olan bir transformatörün titreşim davranışları analiz edilerek referans titreşim değeri olabilecek doğrusal yükleme anındaki titreşim değerleri karşılaştırılmıştır. Benzetim çalışmalarında ilk olarak, bir fazlı doğrusal olmayan yüklerin, transformatörün her üç faz sargasına da eşit olarak dağıtıldığı durum ile daha sonra ise yükün tamamının üç fazlı doğrusal olmayan altı darbeli bir doğrultucu yükü ile yapılmıştır. Böylece olabilecek en kötü doğrusal olmayan yük davranışına göre analiz edilmektedir. Benzetim çalışmalarında kullanılan doğrusal olmayan yüklerin toplam harmonik bozunum değerleri gerçek ortamda yük değerleri ile uyumludur ve doğrusal olmayan yükler altında çalışan transformatörün titreşimlerinin harmoniklerle ilişkisi araştırılarak ortaya konulmuş olacaktır. Benzetim devresinde kullanılan doğrusal olmayan bir fazlı yük ve giriş akımı Şekil 1'de, üç-fazlı altı darbeli doğrultucu ve giriş akımları Şekil 2'de görülmektedir.



*Şekil 1. 1-fazlı doğrultucu a) devre şeması, b) giriş akımı*



*Şekil 2. 3-fazlı doğrultucu a) devre şeması, b) giriş akımı*

### 3. TRANSFORMATÖRLERDE TİTREŞİM VE BİLEŞENLERİ (VIBRATION AND ITS COMPONENTS IN TRANSFORMERS)

Transformatörlerdeki titreşimler transformatörün servis ömrünü azalttığı gibi elektriksel ve mekanik performansını da olumsuz yönde etkilemesinin yanı sıra gürültü kirliliği oluşturduğu için izlenmesi gereken parametrelerdir [23].

Transformatörde oluşan titreşimler, transformatörün çalışması süresince nüve ve sargı gibi aktif kısımları başta olmak üzere hemen hemen bütün parçalarında oluşmaktadır. Sargı ve nüve titreşimleri, bu parçalarda görülen çeşitli kuvvetler tarafından üretilmekte olup, sargı ve nüve malzemelerinin manyetik ve mekanik özellikleri ile ilişkilidir. Bunun yanında, soğutma amaçlı fan kullanılması halinde fan kaynaklı titreşimler de toplam titreşim seviyesine eklenmektedir. Genel olarak bir transformatörde yapısal titreşimler üç tip elektromanyetik kuvvet tarafından uyarılmaktadır. Bunlar; Maxwell kuvveti, manyetik büzülme kuvveti ve Lorentz kuvvetidir [24]. Transformatörün mekanik yapısında titreşimleri ortaya çıkaran bu kuvvetler gerilime bağlı ve yüze bağlı etkilerden kaynaklanmaktadır [25].

#### 3.1. Maxwell Kuvvetleri (Maxwell Forces)

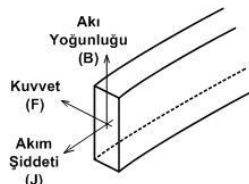
Transformatör nüvelerinin birleşme noktaları, hava aralığı bölgeleri ve yüzeyleri gibi farklı manyetik özelliklere sahip iki ortam arasında ortaya çıkan kuvvetlerdir [26]. Maxwell kuvvetleri itici kuvvetler ve çekici kuvvetler olmak üzere iki kısma ayrılabilir [26]. İtici kuvvetler, lamine yapıya sahip nüvenin hava aralığından uzak olan kısımlarında meydana gelir. Bu nedenle yoğunlukları zayıftır. Çekici kuvvetler ise

akının bir levhadan diğerine gitmesi nedeniyle hava aralığının olduğu yerlerde yoğunlaşır. Çekici kuvvetler manyetik büzülmenden kaynaklanan titreşime göre daha yüksek değerlerde ortaya çıkar.

### 3.2. Lorentz Kuvveti (Lorentz Forces)

Lorentz kuvveti olarak da bilinen sargı kuvvetlerinin temel nedeni kaçak akı alanı olarak adlandırılan elektrik ve manyetik alanlar arasındaki etkileşimlerdir [22, 27]. Bu elektromanyetik kuvvet ( $F$ ), akım şiddeti ( $J$ ) ile akı yoğunluğunun ( $B$ ) vektörel çarpımı olarak Eşitlik 3.1' deki gibi ifade edilmektedir [24]. Şekil 3 ise oluşan kuvvet ile akım şiddeti ve akı yoğunluğu arasındaki ilişkiyi göstermektedir.

$$F = J \times B \quad 3.1$$



*Şekil 3. Manyetik akı yoğunluğu, akım şiddeti ve oluşan kuvvetin bir iletkenindeki yönü [28]*

Sargılarda dolaşan akım hem akı yoğunluğunu hem de akım şiddetini dolayısıyla oluşan kuvvetin genliğini etkilemektedir. Bu kuvvet her iki büyülügün çarpımıdır ve akımın karesiyle orantılıdır. Şekil 1, oluşan kuvvet ile akım şiddeti ve akı yoğunluğu arasındaki ilişkiyi göstermektedir. Sargıda meydana gelen kuvvetin yönü hem akımın hem de akı yoğunluğunun yönüne diktir.

Sargı kuvvetleri genel olarak radyal ve eksenel olmak üzere iki bileşen halinde incelenmektedir [27-28]. Her iki kuvvet bileşeni sargıların farklı kısımlarında ortaya çıkabilir. Radyal ve eksenel kuvvetler sargılar üzerinde yüksek baskiya neden olarak sargı deformasyonuna yol açmaktadır.

### 3.3. Nüve Kuvveti ve Manyetik Büzülme (Core Forces and Magnetostriction)

Manyetik malzemeler, manyetik alan içerisinde kaldıkları zaman boyutlarında oldukça küçük bir değişim gözlenmektedir. Bu değişim manyetik büzülme, bu kuvvete de manyetik büzülme kuvveti olarak adlandırılmaktadır. Malzeme boyundaki uzaman, hacmindeki uzamadan daha fazla olduğu için değişim  $\mu\text{m/m}$  ile ifade edilmektedir. Genel olarak boydaki uzama miktarı akı yoğunluğunun karesi ile orantılı olarak değişirken malzeme doyma noktasına ulaştığında maksimum değerini almaktadır. Malzemenin boyundaki değişim, akı yoğunluğunun karesi ile değiştiği için manyetik büzülmeyen harmonik bileşenleri çalışma frekansının çift katları olan frekans değerlerinde oluşmaktadır. Bundan dolayı nüve titreşiminin temel frekansı çalışma frekansının iki katı olmaktadır [29]. Temel bileşenin genliği ise uygulanan gerilimin karesi ile doğru orantılı olarak değişmektedir.

Transformatör nüvesi şebeke frekanslı uygulamalarda genellikle lamine levhalardan meydana geldiği için nüve bacakları ile boyunduruk arasındaki bağlantılar genelde çakışık durumda bulunmaktadır. Nüve bacakları ve boyunduruklar arasındaki istenmeyen hava aralıklarının küçük değişimleri de düzensiz bir akı dağılımına yol açtığı için manyetik büzülme kuvvetleri nüveye dik bir düzlemede oluşmaktadır [25-26, 30].

Transformatör sargılarına sinüzoidal bir gerilim uygulandığında sargıda induklenecek olan gerilim değeri Eşitlik 3.2' de görülmektedir. Bu eşitlikte  $N_1$  sarım sayısını,  $B$  akı yoğunluğunu,  $A$  nüvenin kesit alanını ( $\text{m}^2$ ) ve  $U_0$  ise uygulanan gerilimi göstermektedir.

$$U_0 \sin \omega t = -N_1 A \frac{dB}{dt} \quad 3.2$$

Sargılara uygulanan gerilim ve dolayısıyla akı yoğunluğu göz önüne alındığında ortaya çıkan manyetik büzülme değeri Eşitlik 3.3' te verilmiştir. Eşitlik 3.3' te  $\lambda_s$ , doyma manyetik büzülme değerini,  $B_s$  ise doyma akı yoğunluğunu ifade etmektedir. Buna göre manyetik büzülme kuvvetleri, akı yoğunluğunun karesi ile doğru orantılı olarak değiştiği görülmektedir [25-26, 30].

$$\lambda = \frac{\lambda_s B_0^2}{B_s^2} \cos^2 \omega t \quad 3.3$$

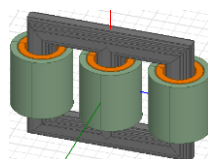
Eş.3.3 aynı zamanda manyetik büzülme değerinin akı yoğunluğu ile doğrusal olmayan bir değişim göstermektedir. Eşitlik 3.2 ve Eşitlik 3.3' ten yola çıkarak nüve titreşim ivmesi  $a_c$  Eş.3.4' teki gibi ifade edilebilir. Bu eşitlikte  $\omega$  açısal frekans  $\omega = 2\pi f$  i (f kaynak geriliminin frekansı),  $L$  akı yolunun uzunluğunu göstermektedir.

$$a_c = -\frac{2\lambda_s L U_0^2}{(N_1 A \omega B_s)^2} \cos^2 \omega t \quad 3.4$$

Bu bağlamda, Eş.3.4' te verilen matematiksel ifade nüve titreşim ivmesinin genliğinin ve frekansının kaynak geriliminin genliğinin karesi ve manyetik büzülme katsayısı ile doğrusal olarak değiştiğini göstermektedir. Son olarak Eşitlik 3.3 ve Eşitlik 3.4' e göre manyetik büzülme ve nüve titreşimi temel bileşenlerinin çalışma frekansının 2 katı olduğu söylenebilir. Nüve manyetik büzülmesinin doğrusal olmaması yüksek dereceli harmoniklerin ortayamasına yol açmaktadır [29].

#### 4. MODELLEME VE BENZETİM (MODELING AND SIMULATION)

Bu çalışmada 3-fazlı kuru-tip 500kVA anma gücünde bir yalıtım transformatörünün çeşitli yükler altındaki titreşim analizi gerçekleştirılmıştır. Şekil 4' te benzetim çalışmalarında kullanılan transformatörün modeli, Tablo 1'de de bu transformatörün özellikleri yer almaktadır.

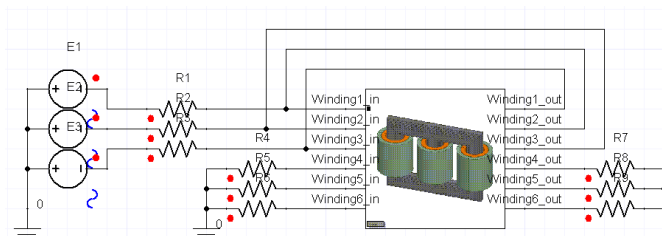


*Şekil 4. Modellenen yalıtım transformatörü*

*Tablo 1. Benzetimde kullanılan transformatörün özellikleri*

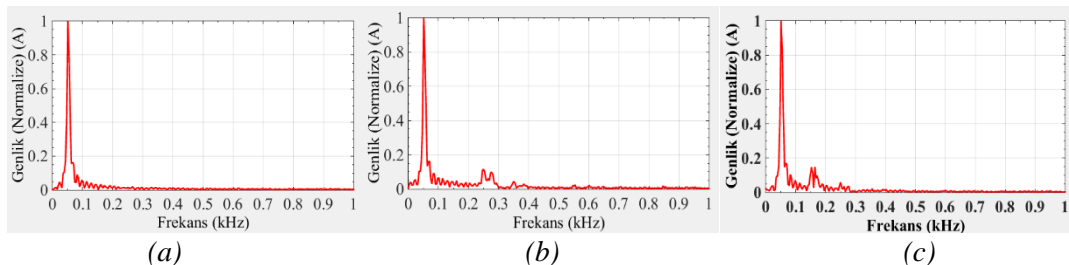
Güç kapasitesi	500 kVA
Gerilimi değeri	400 V / 400 V
Çalışma frekansı	50 Hz
Nüve malzemesi	M5 Yönlendirilmiş Silisli Sac (0,30mm)
Sargı malzemesi	Alüminyum
Yük Özellikleri	Doğrusal yük (Yük 1)
	Doğrusal olmayan yük (THD <sub>i</sub> ~%35) (Yük 2)
	Doğrusal olmayan yük (THD <sub>i</sub> ~%55) (Yük 3)

Benzetim çalışmalarında elektriksel uyarımlar için ANSYS Simplorer ve ANSYS Maxwell yazılımları ile eş zamanlı olarak her bir yük durumu için analizler yapılmıştır. Şekil 5'te farklı THD değerlerini elde etmek için kullanılan Simplorer devresi doğrusal yük için verilmiştir. Tablo 1' de belirtilen yüklerde göre ANSYS Maxwell ile yapılan elektromanyetik modelleme ile yüklü durumlar için nüvede oluşan kuvvetler belirlenmiş daha sonra bu kuvvetler ANSYS Workbench Mechanical ile yapılan harmonik tepki analizi için giriş parametrelerini oluşturmuştur.



*Şekil 5. Doğrusal yük için Simplorer yazılımında benzetim devresi*

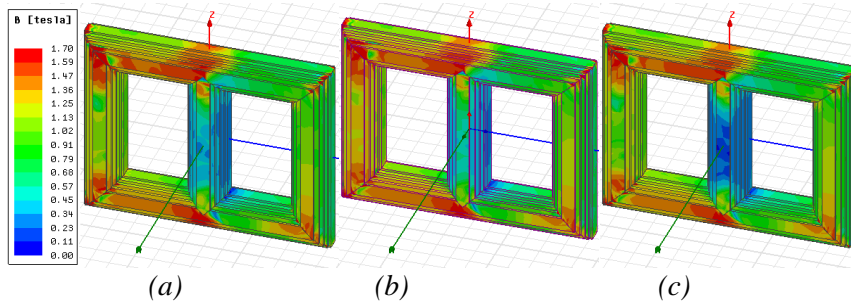
Transformatörler normal şartlarda doğrusal yük altında çalışacak şekilde tasarlanmıştır. Ancak günümüz uygulamalarında doğrusal yükler kadar çeşitli harmonik bozunum seviyelerine sahip doğrusal olmayan yükler de bulunmaktadır. Bu doğrusal olmayan yüklerin transformatör titreşimine olan etkilerini belirlemek amacıyla çalışmanın bu kısmında 3 farklı yaygın yük kullanılmıştır. Bu yükler ve THD değerleri Tablo 1'de verilmiştir. 1-fazlı doğrultucu ile yüklenme durumunda transformatörün her fazı ayrı ayrı 1-fazlı doğrultucu ile yüklenmiştir. Her 3 yük durumu için transformatör anma yük seviyesinde çalışmaktadır.



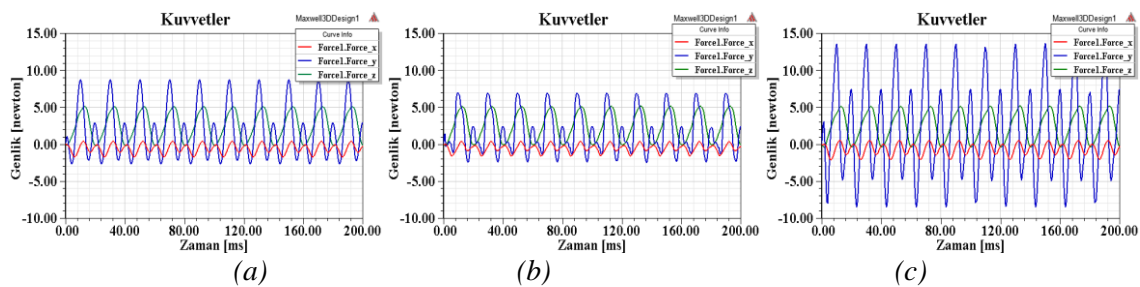
**Şekil 6.** Transformatörün şebekeden çektiği akımların harmonik spektrumu a) doğrusal yüklenme durumu, b) 3 fazlı doğrultucu ile yüklenme, c) 1 fazlı doğrultucu ile yüklenme

Şekil 6'daki benzetim sonuçlarından elde edilen yük akımlarının harmonik spektrumlarından görüleceği gibi doğrusal yükte sadece 50Hz'de temel bileşen, üç fazlı doğrultucuda ise temel bileşene ek olarak sırasıyla temel bileşenin %11,5' i ve %4,3' ü kadar genlige sahip 5. ve 7. harmonik bileşenler yer almaktadır. Bir fazlı doğrultucuda ise temel bileşenin yanı sıra temel bileşenin sırasıyla %14,6, %5,8 ve %2'si kadar genliklere sahip 3., 5. ve 7. harmonik bileşenler bulunmaktadır.

Belirtilen çalışma koşullarında nüvede oluşan akı yoğunlukları Şekil 7'de görülmektedir. Her üç nüve için gerilimin en yüksek değerini aldığı 0,185ms anı seçilmiş ve akı yoğunluğu skalarası üç nüve için ortak olacak şekilde belirtilmiştir. Bu nüvelere ilişkin nüve yapısının bütününe ait üç yöndeği kuvvet eğrileri ise Şekil 8'de verilmiştir.



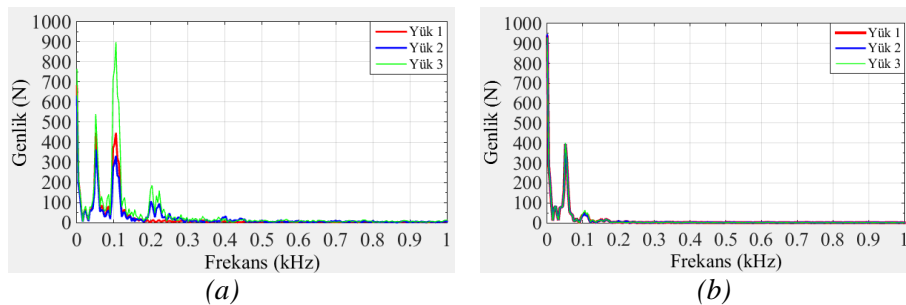
**Şekil 7.** Nüve akı yoğunlukları a) doğrusal yük, b) 3 fazlı doğrultucu, c) 1 fazlı doğrultucu



**Şekil 8.** Nüve kuvvetleri a) doğrusal yük, b) 3 fazlı doğrultucu, c) 1 fazlı doğrultucu

Bütün yük koşullarında y-yönündeki kuvvetin tepe değeri z-yönündeki kuvvetlerin genliklerine kıyasla daha yüksek değerde olduğu Şekil 8'den görülmektedir. Şekilden ayrıca x-yönündeki kuvvetlerin çok

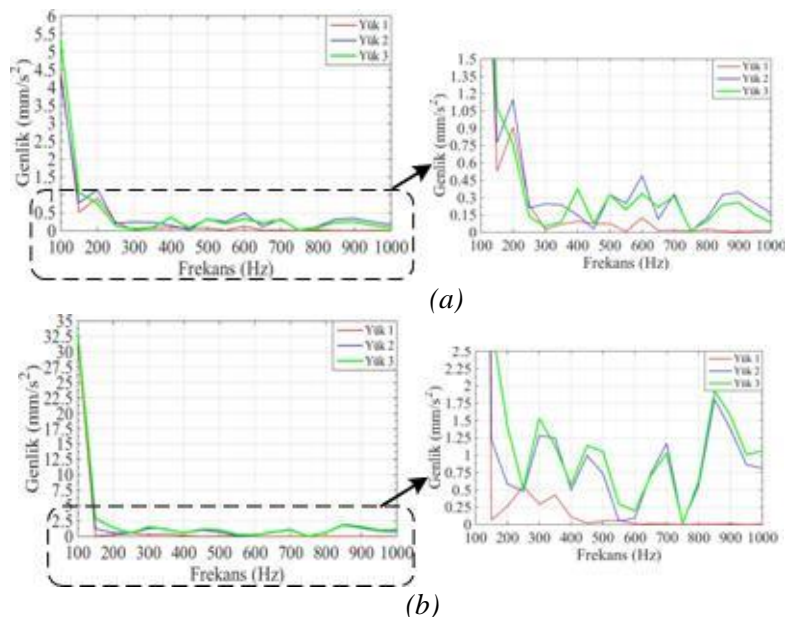
düşük genliklerde ve periyodik olduğu da görülmektedir. Bu nedenle x-yönüne ait ivme harmonik bileşenleri bu çalışmada incelenmemiştir. Elektromanyetik modelleme ile elde edilen bu nüve kuvvetlerinin Şekil 9' da verilen harmonik bileşenleri Ansys-Mechanical programında giriş parametresi olarak kullanılmış ve bunlara göre titreşim ivmesinin harmonik tepkileri elde edilmiştir.



**Şekil 9.** Nüve kuvvetlerine ilişkin harmonik spektrumları a) y-yönü (radyal), b) z-yönü (eksnel)

Şekil 9 (a)' da görülen radyal kuvvetlere ilişkin harmonik spektrumda doğrusal yük durumunda sadece DA bileşen, 50Hz ve temel bileşen ortaya çıkmıştır. Harmonik bozunum değerinin artmasıyla birlikte bu bileşenlere ek olarak 200Hz' de bir bileşen ortaya çıkmış ve genlikleri de temel bileşene göre Yük 2 ve Yük 3 için sırasıyla %789 ve %1467 oranlarında artış göstermiştir. Şekil 9 (b)' deki eksenel kuvvetlerde ise; akım harmonik bozunumunun artmasıyla kuvvet harmonik bileşenlerinde çok küçük bir değişim olduğu ve radyal kuvvetlerin aksine eksenel kuvvetlerde sadece DA, 50Hz ve temel bileşen bulunduğu görülmektedir.

Şekil 10' da belirtilen 3 farklı çalışma durumu için titreşim ivmelerinin frekans bileşenleri verilmiştir.



**Şekil 10.** Yük tipine göre elde edilen ivme sinyalleri (a) y-yönü titreşimler, (b) z-yönü titreşimler

Şekil 10 (a)' da verilen y-yönündeki titreşimlerde temel bileşen genliği harmonik bozunum derecesiyle paralel bir değişim göstermiştir. Yük 3 titreşiminin 2. bileşeni diğer yüklerle göre daha düşüktür. Yük 1' e ait ivme harmonik genlikleri diğer yük tiplerine göre daha düşük değerlerde ortaya çıkmıştır. Yük 1' e ait ivme değerleri referans olarak alındığında Yük 2 ivme genlikleri 100Hz' de %3,8 azalırken 200Hz' de %27,7 oranında artmıştır. Yük 3 ivme genlikleri ise 100Hz' de %2,83, 200Hz' de ise %123 oranında artış göstermektedir.

Şekil 10 (b)' de verilen eksenel ivmelerde ise Yük 1 haricindeki diğer iki yükün harmoniklerinin genlikleri ve frekansları yakın değerlerdedir. Yük 1' e ait 100Hz' deki ivme bileşeninin genliği referans alındığında

Yük 2 için %2,83, Yük 3 için %3,78 oranlarında artış meydana geldiği görülmektedir. Yük 1' de ise 250Hz ve 350Hz frekanslarında karakteristik olmayan iki harmonik bileşen görülmüş ve bunların haricinde başka bir harmonik bileşen oluşmamıştır. Yük 2 ve Yük 3'te ise akım sinyalindeki harmonik bileşenler transformatör titreşiminin yüksek dereceli harmonik bileşenlerinin ortayamasına yol açmaktadır ve genliklerini etkilemektedir.

Şekil 6 ile Şekil 10 birlikte incelendiğinde akım harmonik bileşenleri ile ivme harmonik bileşenleri arasında doğrudan bir ilişki bulunamamıştır. Örneğin, Yük 2 akımının 3. harmonik bileşeni bulunmamasına rağmen eksenel yöndeki ivme frekans spektrumunda 3. bileşen olduğu görülmektedir. Şekil 9 ile Şekil 10 birlikte incelendiğinde yine benzer şekilde nüve kuvvetlerinin harmonik bileşenleri ile ivme harmonik bileşenleri arasında frekans açısından doğrudan bir ilişki bulunmamasına rağmen Yük 2 ve Yük 3' te görülen 200Hz ile 400Hz' deki bileşenleri ivme harmonik spektrumunda da bu frekanslardaki bileşenlerin genliğini artırmıştır.

Benzetim sonuçları değerlendirildiğinde;

- THD değerinin artması, titreşim ivmesinin harmonik bileşen sayısı ve genliğinde artışa yol açmaktadır (Şekil 10(b)).
- THD değerindeki artış ile beraber nüve kuvveti harmonik spektrumunda 2. ve 4. bileşenler ortaya çıkmış bu durum ise ivmenin 2. ve 3. harmonik bileşen genliğini artırmıştır. 2. Harmonik bileşen nüvede herhangi bir mekanik problemin ortaya çıkışmasını önceden belirlemek için incelenmelidir.
- Bunlara ek olarak 1-fazlı doğrultucunun kullanılmasıyla oluşan THD değerinin artması, nüve kuvvetinin temel bileşenini doğrusal yük için %61, 3-fazlı doğrultucu için %45 oranında artırmış olsa da eksenel ivme genliklerinde benzer oranda bir artışın oluşmadığı, sadece frekans spektrumunda tepe değeri ifade eden genliğin artmasına yol açtığı görülmüştür.

## 5. SONUÇ (CONCLUSION)

Güç sistemlerinde doğrusal olmayan akımlar çeken yükler giderek artmaktadır ve bu yüklerin büyük genlikli harmonik bileşen dereceleri transformatörlerin kayıplarını artırdığı gibi titreşimlerinin de artmasına yol açmaktadır. Doğrultucu devreleri gibi doğrusal olmayan yükleri besleyen transformatörlerde bu durum birçok olumsuz gelişmeyi de beraberinde getirmektedir. Bu olumsuzluklardan birisi olan titreşimler, yıpranmayı hızlandırdıkları ve transformatör yapılarında mekanik arızalara yol açabildikleri için izlenmelidirler. Bu çalışmada doğrusal yük ile farklı THD değerlerinde akım çeken doğrultucu yüklerinin transformatör nüve titreşimleri üzerine etkileri incelenmiştir. Yapılan analizlerde, her yük durumunun nüve üzerinde oluşturduğu kuvvetlere göre titreşim harmonik tepkileri belirlenmiştir. Elde edilen harmonik tepkilere göre, THD değerinin artmasıyla birlikte radyal ve eksenel yönlerdeki titreşim sinyallerinin temel bileşen ile 2. ve 3. harmonik bileşen genliklerinde artışlar olduğu görülmüştür. Bunlara ek olarak, THD değerinin artması titreşimin frekans spektrumunda, harmonik akımların derecelerine bağlı olarak daha fazla sayıda bölgesel maksimum noktaları oluşmasına yol açmaktadır. Eksenel yöndeki titreşimler transformatör üzerinde nüve deformasyonu gibi arızalara yol açabileceği sebebiyle özellikle kritik önemdeki uygulamalarda transformatörlerin vibrasyona yönelik davranışlarının dikkatle izlenmesi ile arızaların önceden tespit edilebilmesi ve yaşanmanın geciktirilmesi mümkün olabilecektir.

## KAYNAKLAR (REFERENCES)

- [1] Gezegin, C., Dirik, H., Özdemir, M. Transformatörlerin Ortalama Sargı Dirençlerinin Gerçek Zamanlı Ölçümü, GU J Sci, Part C, 6(3): 592-604, (2018).
- [2] Ahmad A.A., Abrishamifar A., Jamarani M. E., Designing 3-Phase Inverters with Δ/Y Output Isolation Transformer, The 5th Annual International Power Electronics, Drive Systems and Technologies Conference (PEDSTC 2014), 2014, pp. 223-226.
- [3] Greco N., Parisi A., Palmisano G., Spina N., Ragonese E., Integrated Transformer Modelling for Galvanically Isolated Power Transfer Systems, 13th Conference on Ph.D. Research in Microelectronics and Electronics (PRIME), 2017, pp. 325-328.

- [4] Ertl M., Voss S. The Role of Load Harmonics in Audible Noise of Electrical Transformers, *Journal of Sound and Vibration*, 333 (2253-2270), (2014).
- [5] Biricik S., Özerdem Ö. C., Experimental Study and Comparative Analysis of Transformer Harmonic Behaviour under Linear and Nonlinear Load Conditions, 10th International Conference on Environment and Electrical Engineering (EEEIC), 2011.
- [6] Cazacu E., Ionita V., Petrescu L., Thermal aging of power distribution transformers operating under nonlinear and balanced load conditions, *Power Engineering and Electrical Engineering*, 16(1), 92-100, (2018).
- [7] Galli W., Skvarenina T. L. (2002). *Power Quality and Utility Interface Issues*, CRC Press LLC.
- [8] Abu Dhabi Distribution Company, Al Ain Distribution Company, Abu Dhabi Supply Company for Remote Areas (RASCO), Limits for Harmonics in the Electricity Supply System, Engineering Recommendation No.1 of the Electricity Distribution Code, <https://www.adc.ae/img/41f76c6a-90c5-46e4-aabc-1414e6e4896b.pdf>. Yayın tarihi 2005. Erişim tarihi: Nisan 28, 2018.
- [9] Fuchs E., Masoum M. *Power Quality in Power Systems and Electrical Machines*, Elsevier Science, 19-20, (2008).
- [10] Zizins-Malisevs S., Poiss G., Power Transformer Mechanical Condition Assessment with A Vibration-Based Diagnostic Method, 56th International Scientific Conference on Power and Electrical Engineering of Riga Technical University (RTUCON), 2015.
- [11] Berler Z., Golubev A., Rusov V., Tsvetkov V., Vibro-Acoustic Method of Transformer Clamping Pressure Monitoring, In Proceedings of the IEEE International Symposium on Electrical Insulation, 2000, 263-266.
- [12] Xiong W., Ji R., Nonlinear Time Series Analysis of Transformer's Core Vibration, The Sixth World Congress on Intelligent Control and Automation 2, 2006, 5493 – 5496.
- [13] Borucki S., Time-Frequency analysis of mechanical vibrations of the dry type power transformer core, *ACTA PHYSICA POLONICA A*, 120 (4), 571-574, (2011).
- [14] Borucki S., Diagnosis of technical condition of power transformers based on the analysis of vibroacoustic signals measured in transient operating conditions, *IEEE Transactions on Power Delivery*, (27) 2, 670-676, (2012).
- [15] Munir B. S., Smit J. J., Rinaldi I G. M. R., Diagnosing Winding and Core Condition of Power Transformer by Vibration Signal Analysis, International Conference on Condition Monitoring and Diagnosis (CMD), 2012.
- [16] Zheng J., Pan J., Huang H., An experimental study of winding vibration of a single-phase power transformer using a laser doppler vibrometer, *Applied Acoustics* 87, 30-37, (2015).
- [17] Qian G., Research on Spectrum Eigenvalues of Transformer Vibration and its Application on Diagnosis, *IEEE International Conference on Mechatronics and Automation (ICMA)*, (2016).
- [18] Naranpanawe L., Ekanayake C., Finite Element Modelling of a Transformer Winding for Vibration Analysis, *Australasian Universities Power Engineering Conference (AUPEC)*, (2016).
- [19] Bartoletti C., Desiderio M., Di Carlo D., Fazio G., Mužík F., Sacerdoti G., Salvatori F., Vibro-Acoustic techniques to diagnose power transformers, *IEEE Transactions on Power Delivery*, (19) 1, 221-229, (2004).

- [20] García B., Burgos J. C., Alonso A., Transformer tank vibration modeling as a method of detecting winding deformations—Part 2: Experimental verification, *IEEE Transactions Power Delivery*, 21 (1), 164-169, (2006).
- [21] Wang Y. (2015). Transformer vibration and its application to condition monitoring, PhD Thesis, University of Western Australia, School of Mechanical and Chemical Engineering.
- [22] Najafi A., Iskender I., Electromagnetic force investigation on distribution transformer under unbalanced faults based on time stepping finite element methods, *Electrical Power and Energy Systems* 76, 147–155, (2016).
- [23] Wei G. S., Xin L., Qiang L., Hong W., Duanchunjian Z., Vibration finite element analysis of SC10 dry-type transformer core, *Sensors and Transducers*, 173 (6), 75-81, (2014).
- [24] Shuai P., Biela J., Investigation of Acoustic Noise Sources in Medium Frequency, Medium Voltage Transformers, European Conference on Power Electronics and Applications (EPE'14-ECCE Europe), 2014, pp. 1-11.
- [25] Garcia B., Burgos J. C., Alonso A., Winding deformations detection in power transformers by tank vibrations monitoring, *Electric Power Systems Research* 74, 129-138, (2005).
- [26] Tabrizi S., Study of effective methods of characterization of magnetostriction and its fundamental effect on transformer core noise, PhD thesis, Cardiff University Wales, 2013.
- [27] Gutten M., Janura R., Jurcik J., Determination of Electromagnetic Forces Caused by Short-Circuit Currents, 56th International Scientific Conference on Power and Electrical Engineering of Riga Technical University (RTUCON), 2015, 1-4.
- [28] Mohamed, N., Electromagnetic forces in transformers under short circuit conditions, Powertech Transformers, 36-40, 2011.
- [29] Du B. X., Liu D. S., Dynamic behavior of magnetostriction-induced vibration and noise of amorphous alloy cores, *IEEE Transactions on Magnetics*, 51 (4), (2015).
- [30] Hong K., Huang H., Zhou J., Winding condition assessment of power transformers based on vibration correlation, *IEEE Transactions on Power Delivery*, 30 (4), 1735-1742, (2015).